

## 貯留閑数における遅れ時間の特性

筑波大学 農林工学系 正員○杉山博信  
農林学類 平岩昌彦  
(現 農林水産省)  
中学校高等学校 田中宏宣

## 1. はじめに

土地利用形態の変化により出水形態が変わる。これに対応できる出水解析法は、現今、雨水流法のみであるが、貯留閑数法のこの方面への適用が遅れている。そこで、貯留閑数の最適閑数を求め、その特性を吟味した。ここでは、ゴルフ場および総合運動場の解析結果を中心に述べる。なお、最適化手法としてSDFP法を用いた。

## 2. 試験地の概況

図1に試験地の概況図を示す。ゴルフ場( $A=0.039\text{ km}^2$ )、総合運動場( $A=0.074\text{ km}^2$ )および一部宅地化された自然林地( $A=0.074\text{ km}^2$ )から構成されている。ゴルフ場の雨水は、上流域では支線排水路で集水されたのち、集水暗渠として埋設されたコルゲートパイプ( $\varnothing 300\text{ mm}$ )に入り末端に流下する。また、中下流域での雨水は支線排水路で集水され、幹線排水路に入り末端に流下する。末端には直角三角堰が整備され、1ヶ月巻自記水位計が設置されている。総合運動場とは、整地された陸上競技場と野球場および若干の未整地の畠地があり、これを流域と呼称したものである。整地域での排水は、周辺に設けられたU字溝で集水され、その後暗渠に入り、埋設されたヒーム管( $\varnothing 600\text{ mm}$ )と三面水路( $1.5 \times 1.0$ )からなる幹線水路をとおして末端に流下する。また、畠地の雨水はU字溝で集水されたのち、幹線排水路に入る。末端には直角三角堰が整備され、1ヶ月巻自記雨量水位計が設置されている。

## 3. 対象出水と有効降雨

貯留閑数法を適用することから、ここではピーク比流量 $Q_p > 1.0 \text{ m}^3/\text{hr}\cdot\text{m}^2$ の出水を対象とした。各流域内の観測点雨量を平均雨量としたが、ゴルフ場では近傍の観測点R3の精度に問題があるので、隣接した自然林地のR1の点雨量を用いた。有効降雨の推定には、各流域の末端での実測流出量が各出水ごとに作成した保留量曲線を用いた。

## 4. 雨水流出口性

① 洪水到達時間　兩流域の出水データを整理して、有効降雨強度と洪水到達時間との関係を示したのが図2である。図中の実線は平均線を表わす。図から判断して、洪水到達時間推定式  $t_p = CA^{0.22} r_e^{-0.33}$  の係数Cは、当試験地のゴルフ場では

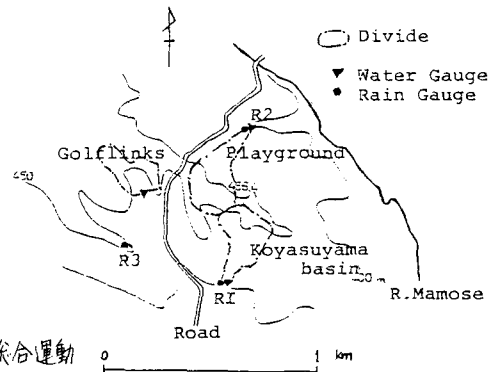


図1 試験地の概況図

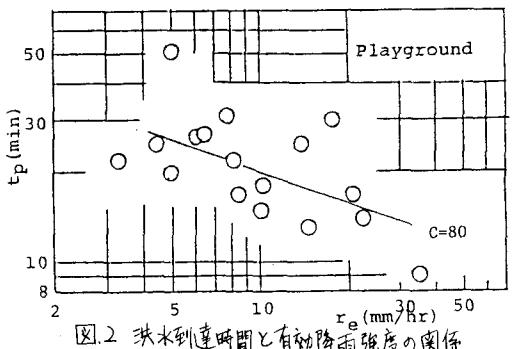
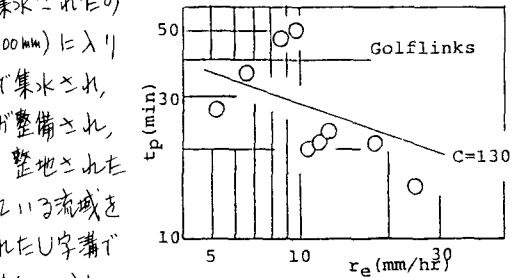


図2 洪水到達時間と有効降雨強度の関係

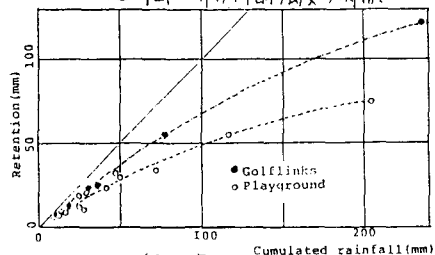


図3 保留量曲線

$C=100 \sim 150$ である。また運動場でのそれは $C=60 \sim 120$ である。開渠直後の裸地のそれはほぼ同値で、雨水の到達時間がかなり短くなっていることがわかる。

② 雨水保留特性 図3は両流域での各出水時の総雨量に対する保留量を整理したものである。ゴルフ場の保水能力は総合運動場のそれよりも大きくなることがある。

5. 定数 $P, T_p$ の特性 ③  $P$ 、図4は財留閑数の最適定数を用いたときのハイドログラフの再現結果を示したものである。ゴルフ場の出水は暴雨、総合運動場のそれは台風による。計算に用いた雨量および流量データの単位時間は、両流域とも5分とした。誤差評価の対象とする最適流量の基準としては、直接流出の分離線を考慮して、各出水ごとに変える方法を

とった。図中の白丸は予定数 $K, P, T_p$ の最適値によるハイドログラフの再現性を、黒丸は $P=0.6$ に固定し、他の2定数 $K, T_p$ の最適値によるものである。両流域とも相対誤差から判断して、両者の再現性は良好である。 $T_p$ がつぶ差はない。このことは $P=0.6$ に固定しても、実用的には十分な精度で実測ハイドログラフを再現できる

ことを意味している。上述の解析結果から判断して、ピーク比流量 $Q_p > 1.0 \text{ mm/5min}$ の出水に対して斜面流を Manning 型表面流で近似できることを示唆している。④  $T_p$  図5に $P=0.6$ に固定したときの、最適定数 $T_p$ とピーク流出量 $Q_m$ の関係を示した。点群の若干のバラつきを無視し、大出水時の結果のみを考慮すると、両流域ともとの関係は $T_p \propto Q_m^{-\alpha}$ で表現され、指数 $\alpha$ として 0.30 が得られた。図6に $T_p$ と洪水到達時間 $t_p$ の関係を示した。大出水のそれを考慮すると、その関係は $T_p \propto t_p^{\beta}$ となる。両流域の $\beta$ 値の相違は、今後の検討課題とする。

## 6. おわりに

本研究によると、 $T_p$ 、洪水到達時間推定式の係数 $C$ は、ゴルフ場では $C=100 \sim 150$ 、総合運動場では $C=60 \sim 120$ である、財留閑数法の遅れ時間 $T_p$ はピーク流出量および洪水到達時間を介して表現できようであることが明らかになれた。最後に、終始ご指導いただいた京都大学防災研究所角屋謙教授に深甚の謝意を表する。なお、本研究は文部省科学研究所の補助を受けたことを付記する。

## 参考文献

角屋・永井ら；ゴルフ場の流出特性（未発表論文）

角屋・福島；中山河川の洪水到達時間、京大防災研年報第19号B-2, pp.143~152

永井・角屋ら；財留閑数法の総合化、京大防災研年報第25号B-2, pp.207~220

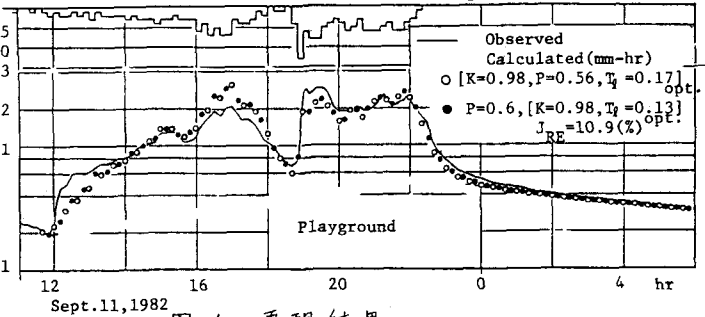
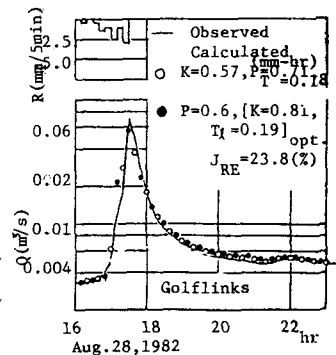


図4 再現結果

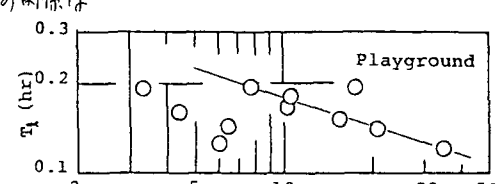
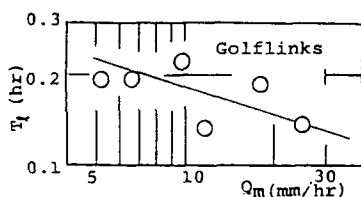


図5 遅れ時間とピーク流出量の関係

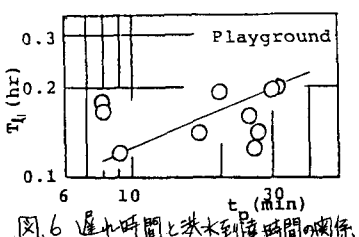
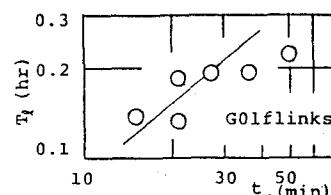


図6 遅れ時間と洪水到達時間の関係